环氧-钨粉背衬工艺及其应用

诸国桢 周铁英

魏建新

(清华大学声学研究室)

(地矿部南京石油物探所)

1985年5月27日收到

本文实现一种用真空抽吸环氧法制成背衬的工艺。声阻抗率可达 30×10⁶ Pas/m。 **背衬棒用于低超** 声频换能器,可以得到单极或双极的声脉冲。

背衬对于脉冲换能器是一个关键问题。早在 60 年代就知道,用高损耗材料做背衬,当背衬材料和换能器材料的声阻抗匹配时,就可以得到一个单极(阶跃电压激发)或双极(近于换能器半周期的脉冲激发)的声压脉冲^[1]。

常用 PZT 材料的声阻抗率,例如 PZT-4的 $\rho_c \sim 34 \times 10^6 \text{Pa s/m.}$ 环氧-钨粉用作背衬已有 20 多年,Redwood 做到的声阻抗率 $\rho_c = 19 \times 10^6 \text{Pa s/m}^{\text{L3}}$,S. D. Chartes 等做到 $\rho_c = 26 \times 10^6 \text{Pa s/m}^{\text{L3}}$,但工艺均未报道,最近,G. C. Low 等用环氧和钨粉压制背衬^[3],其声阻抗率可以调整到和 PZT 材料较准确地匹配,并制成 10 MHz 的短脉冲换能器。而常用的混合调配法所能达到的声阻抗率约为 $10 \times 10^6 \text{Pa s/m}$ 左右。

我们用真空抽吸法制成环氧-钨粉棒(即用真空将环氧吸入钨粉的空隙,得到致密的效果). 以两个样品为例,样品 1 (直径 8.65mm,长 5.92mm),密度 $\rho=15\times10^3$ kg/m³,无界媒质中的声速 $c_I=2.0\times10^3$ m/sec (在 1.2MHz用脉冲重叠法测),同时测出 衰减 系数 约 为 38db/cm,声阻抗率(体纵波的)为: $\rho c_I=30\times10^6$ Pas/m。 样品 2 (直径 11.8mm,长 41.1mm),密度 $\rho=13.2\times10^3$ kg/m³,棒中声速 $c_I=1.83\times10^3$ m/sec (主频 100K·C的声脉冲测),声阻抗率(棒中纵波的)为 $\rho c_I=24\times10^6$ Pas/m。 两个样品的密度差异主要 决定于钨粉的紧装密度。

从理论上讲,假定钨粉为均匀小球的密堆积,其空隙均为环氧填满,则环氧、钨粉的体积比当为: 2.6:7.4,这样,环氧-钨粉样品的密度可达 $\rho=14\times10^3 \text{kg/m}^3$ (金属钨的密度取 $\rho=1.18\times10^3 \text{kg/m}^3$)。 用同样数据计算我们的样品 1,其环氧钨粉体积比当为: 3.2:6.8。 进一步提高背衬密度的潜力已经很小,改变环氧配方也许还可以调整声速.

无论从换能器等效电路分析以及我们的实

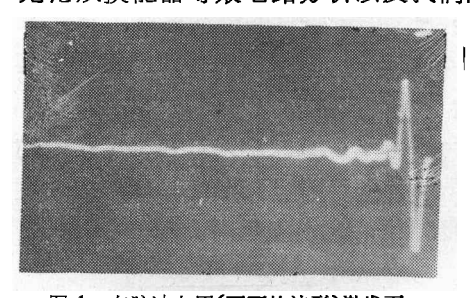


图 1 在脉冲电压(下面的被形)激发下。一 对相同的换能器直接耦合时所收到的电压 波形(上面的被形)

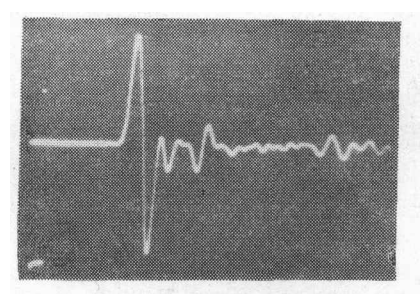


图 2 同一对换能器,传过有机玻璃捧后收到的电压波形。

(下转第31页)

应用声学

• 35 •

质必须在耳蜗内达到相当高的浓度才能发挥作用,不象一些典型的递质如乙酰胆碱只要到达 0.5 × 10⁻⁵M 即能发挥其效应,而 L-天门冬氨酸要到达数个 mM 的数量级才能起作用。3. 迄今尚未发现其相应的受体及其代谢酶。

然而,在交叉灌流实验中,声音刺激强度、频率、声源距离、方位以及灌流速率均保持恒定。并保持听泡内无积液。 实验条件不变,反应量增加。 说明 L一天门冬氨酸可能参与耳蜗传人突触的传递,很可能在耳蜗传人突触传递的过程中起着突触传递调制物的作用。

参考文献

- [1] Z. L. Kruk and C. J. Pycock, Neurotransmitters and Drugs, 1977, 114.
- [2] I. Thalmann, et al., J. Acoust. Soc. Am., 66 (1979), 347.
- [3] R. Thalmann, et al., Steep gradients of amino acids between cochlear endolymph and peri-

- lymph. Laryngoscope, 1981, XCI (II), 1981. 1785—1791.
- [4] H. Davis, Annals of Otology, Rhinology and Laryngology, 67(1958), 789—801.
- [5] G. V. Bekesy, Experiments in hearing, E. G. Weyer (Ed), McGraw- Hill, New York, 1960.
- [6] M. Lawrence, Annals of Otology, Rhinology and Laryngology, 76(1976), 267—312.
- [7] D. R. Curtis and G. A. R. Johnstone, Ergeb. Physiol. Biochem. Exp. Pharmacol, 69(1974), 97-188
- [8] B. Melamed, et al., Hearing Research, 7(1982), 13—18.
- [9] P. S. Guth, et al., Pharmacal. Reviews, 28 (1976), (1976), 95—125.
- [10] I. Furukana, et al., Japan J. Physiol., 22(1972), 617—635.
- [11] W. F. Sewell, et al., Science, 202(1978), 910—912.
- [12] S. D. Comis and G. Leng, Exp. Brain Res. 36 (1979), 119—128,
- [13] R. B. John, Physiological Basis of Medical Practics, 1973, 8—20.
- [14] J. E. Medina, et al., Neuroscience, 6- 3(1981), 505—509.

ակարգությունը արդարդությունը արդարդությունը արդարդությունը արդարդությունը արդարդությունը արդարդությունը արդարդ

(上接第35页)

验结果,这样的背衬已经可以得到较好的单极 (阶跃电压激发)或双极(近于换能器半周期的脉冲激发)声压脉冲。

用上述背衬装配成低超声频窄脉冲换能器,主要用于地壳的比例模型试验。用直径 7.0 mm 的,基频 200kHz 的 PZT-5 压电片装配成一对换能器,背衬的长度大于五倍波长(钨棒中的),把这对换能器直接耦合,一发一收,在脉冲激发下,可以收到一个双极电压脉冲(图 1),并且看不到从钨棒另一端反射的回波讯号。图 2 是用同样一对换能器,以直径 10mm,长 160mm的有机玻璃棒为传播媒质,在脉冲激发下,一发一收所得到的电压波形;第一个双极脉冲为纵波,接下去可以看到横波和第二次反射波.

从图 1 测出, 激发脉冲的峰值为 10V, 接

收电压的第一个视周期的峰峰值为 2V.

有关换能器的装配工艺^[4] 及波形和频率的 计算^[5] 另有报道。这种换能器在地壳比例模型 上试用。改善了对层状结构的分辨能力。

感谢李明轩同志提供钨粉;查济璇同志测量声速。

本研究经费得到地质矿产部碳酸盐岩攻关办公室的支持。

参考文献

- [1] M. Redwood, Appl. Mat. Res., 2(1963), 76.
- [2] S. D. Chartes, IEEE Trans. US-25(1978), 115.
- [3] G. C. Low and R. V. Jonec, *Ultrasonics*, 22 (1984), 22.
- [4] 魏建新等,已投《石油物探》.
- [5] 周铁英等,待发表.